

## Urban flood susceptibility prediction using a Fuzzy-Delphi hybrid model in Sanandaj City

Behnam Shirzadi<sup>1\*</sup>, Farzad Vaisi<sup>2</sup>, Mohammad Sedigh Ghorbani<sup>3</sup>, Ataollah Shirzadi<sup>4</sup>, Himan Shahabi<sup>5</sup>

<sup>1</sup> Former M.Sc. Student, Department of Geography and Urban Planning, Faculty of Geography, Payame Noor University, Kurdistan, Bijar, Iran

<sup>2</sup> Associate Professor, Departments of Geomorphology, Faculty of Natural Resources, University of Kurdistan, Sanandaj, Iran

<sup>3</sup> Assistant Professor, Department of Geography, Departments of Law and Social Sciences, Payam Noor University, Tehran, Iran

<sup>4</sup> Assistant Professor, Departments of Rangeland and Watershed Management, Faculty of Natural Resources, University of Kurdistan, Sanandaj, Iran

<sup>5</sup> Professor, Departments of Geomorphology, Faculty of Natural Resources, University of Kurdistan, Sanandaj, Iran

### Extended Abstract

#### Introduction

Although a flood is an extreme and exceptional flow, every exceptional flow will not turn into a destructive flood, different factors must be changed in nature to cause destruction, damage, and casualties. In general, floods can be divided into four groups flash floods, river floods, urban floods, and coastal floods. Urban floods usually cause fewer casualties and mainly create damage caused by flooding, disruption of traffic, interruption in socio-economic activities, and problems of this kind. The damage caused by non-urban floods is often heavy and sometimes accompanied by high and catastrophic casualties. According to the Mediterranean climate, Iran is the seventh country in the world in terms of flooding. The flood-prone areas of the country are estimated to be around 91 MHA. In other words, 55% of the country's surface has contributed to the production of surface runoff, of which about 42 MHA have moderate to very high flood intensity. The review of sources shows the development of knowledge-based methods, statistical methods, and artificial intelligence algorithms in predicting flood-prone areas in urban and non-urban watersheds in different regions worldwide. However, a hybrid method of the Fuzzy, Delphi, and Analytic Hierarchy Processes (FDAHP) in urban flood susceptibility has not been used. Regarding the questions, what are the most important factors in urban flood occurrence? Is it possible to determine flood-prone areas in urban areas using the FDAHP hybrid model?, this study aims to identify the factors influencing the occurrence of floods and predict flood-prone areas in Sanandaj City.

#### Materials and Methods

In this study, which has a descriptive-analytical-comparative approach, to predict floods in Sanandaj City, the FDAHP was used. First, each of the conditioning factors (14 factors) was scored by flood experts and completed using the scores obtained from other stages of the FDAHP model. After collecting the opinions, the relative weights of the indicators were determined using the hybrid model, and finally, the flood susceptibility map of Sanandaj City was prepared using ArcGIS 10.5 software. The different stages of modeling with the FDAHP method are as follows: 1) experts' opinions, First, with the help of experts (technical and executive experts of the Kurdistan Province and Sanandaj Municipality's Natural Resources and Watershed Administration) the decision-making parameters according to their importance qualitatively or, if possible, quantitatively they rate. Opinion scales are: very important with a nine score, importance with a seven score, average importance with a five score, low importance with a three score, and no importance with a one score. 2) Calculation of fuzzy numbers. After the preliminary stage, which includes a survey of experts in the form of a qualitative or quantitative questionnaire, fuzzy numbers were calculated based on the results of this survey. 3) Forming the matrix of fuzzy pairwise comparisons. 4) Calculating the fuzzy weight of the parameters. 5) De-fuzzification of model parameters. 6) Evaluation of the accuracy of the output of the spatial flood prediction model.

#### Results and Discussion

The findings showed that slopes of less than 10% (flat), areas with an elevation of fewer than 1400 m above sea level, slope aspect and curvature (flat), urban land use with high building density, rainfall of more than 369 mm and rock type Qt2 (Quaternary alluvium) have the highest susceptibility to floods compared to other types in Sanandaj City. Also, the results show that, on the one hand, increasing the distance from the residential areas, the

distance from the roads, and the distance from the waterways decreases the susceptibility to urban flooding. On the other hand, with the increase in building density, the density of roads and the density of waterways in Sanandaj increases the susceptibility to flooding. These results are consistent with the other studies that concluded the residential areas with the largest area have the highest risk of vulnerability. Our findings indicated that the density of the waterway, the slope, and the distance from the waterway have the most influence on the occurrence of floods in Sanandaj City. Rainfall, road density, building density, distance from residential areas, distance from roads, flow accumulation, elevation, land use, lithology, and slope curvature are the next priorities in terms of importance in the occurrence of floods in Sanandaj City.

### Conclusion

The flood prediction map showed that a large part of Sanandaj City including the City's northern, western, southern, and center, which is crowded, has more potential for urban flooding. For example, the old and dilapidated buildings of the City center are highly susceptible to floods, but the border areas around the City have less exposure to this phenomenon. Therefore, as the distance from the City center and the residential regions increases, the potential for flooding decreases. Based on the value of 80.56% of the area under the curve, the validation results indicated that 80.56% of the areas where urban flooding is visible have been correctly predicted. The FDAHP hybrid model had a high ability to estimate the areas prone to urban flooding and, therefore it can be tested and evaluated as a management tool to identify urban floods in other similar areas. Since our aim concerning the occurrence of floods is more on flood mitigation, according to the mentioned theoretical bases and the existing views in the field of flood prediction maps, it can be stated that the ruined canals and the network of waterways, unauthorized constructions, high density, and elevation of buildings, old and dilapidated buildings and the irregularity of the canals have aggravated the urban flooding. Overall, it can be said that obtaining an accurate and reasonable urban flood prediction map can help City managers and planners identify flood-prone areas to manage the urban flood crisis.

**Keywords:** Natural hazards, River density, Multi-criteria decision-making (MCDM), Kurdistan province.

**Article Type:** Research Article

### Acknowledgment

The spiritual support of Payam Noor University and the University of Kurdistan in carrying out this research is hereby appreciated.

### Conflicts of interest

The authors of this article declared no conflict of interest regarding the authorship or publication of this article.

### Data availability statement

All data generated during the manuscript analysis are included in the article. Further datasets are available upon reasonable request from the corresponding author.

### Authors' contribution

**Behnam Shirzadi:** Performing software/statistical analysis, writing the initial version of the article, controlling the results; **Farzad Veisi:** Guiding, editing and revising the article, controlling the results; **Mohammad Sedigh Ghorbani:** Editing and revising the article; **Ataollah Shirzadi:** Editing and revising the article; **Himan Shahabi:** Editing and revising the article.

\*Corresponding Author, E-mail: behnam.sh6565@gmail.com

**Citation:** Shirzadi, B., Veisi, F., Ghorbani, M.S., Shirzadi, A., & Shahabi, H. (2024). Urban flood susceptibility prediction using a Fuzzy-Delphi hybrid model in Sanandaj City. *Water and Soil Management and Modeling*, 4(3), 143-158.  
DOI:10.22098/mmw.2023.12866.1285



## مدل سازی و مدیریت آب و خاک

شایان اکترونیکی: ۲۵۴۶-۲۷۸۳



### پیش‌بینی حساسیت‌پذیری سیالاب شهری با استفاده از مدل ترکیبی فازی-دلفی در شهر سنندج

بهنام شیرزادی<sup>۱\*</sup>، فرزاد ویسی<sup>۲</sup>، محمد صدیق قربانی<sup>۳</sup>، عط الله شیرزادی<sup>۴</sup>، هیمن شهابی<sup>۵</sup>

<sup>۱</sup> دانشآموخته کارشناسی ارشد، گروه جغرافیا و برنامه‌ریزی شهری، دانشگاه پیام نور مرکز بیجار، کردستان، ایران

<sup>۲</sup> دانشیار، گروه ژئومورفولوژی، دانشکده منابع طبیعی، دانشگاه کردستان، سنندج، ایران

<sup>۳</sup> استادیار، گروه جغرافیا، دانشکده حقوق و علوم اجتماعی، دانشگاه پیام نور، تهران، ایران

<sup>۴</sup> استادیار، گروه مراتع و آبخیزداری، دانشکده منابع طبیعی، دانشگاه کردستان، سنندج، ایران

<sup>۵</sup> استاد، گروه ژئومورفولوژی، دانشکده منابع طبیعی، دانشگاه کردستان، سنندج، ایران

#### چکیده

در اکثر کشورهای جهان سیالاب شهری به یکی از چالش‌های جدی محیط زیستی تبدیل شده است. هدف از انجام این پژوهش پیش‌بینی حساسیت‌پذیری سیالاب شهر سنندج با استفاده از روش ترکیبی فازی-دلفی-تحلیل سلسه مراتبی (Fuzzy-Delphi-AHP: FDAHP) است. در ابتدا ۱۴ عامل مؤثر بر وقوع سیالاب شهری شامل زاویه شبیب، جهت شبیب، ارتفاع از سطح دریا، انحنای شبیب، تجمعی جریان، کاربری ارضی، سنگ‌شناصی، بارندگی، فاصله از تراکم ساختمانی، فاصله از آبراهه‌ها، تراکم معابر و تراکم آبراهه‌ها شناسایی و جهت مدل سازی انتخاب شدند. سپس، بر اساس تکمیل پرسشنامه توسط متخصصین و کارشناسان امر سیالاب شهری، امتیازها به این عوامل اختصاص داده شدند. با استفاده از مدل ترکیبی، وزن‌های فازی و غیرفازی عوامل بدست آمده و با اعمال آن‌ها به هر کدام از لایه‌های عوامل مؤثر، نقشهٔ پیش‌بینی مکانی سیالاب شهر سنندج تهیه شد. صحت‌سنگی مدل ترکیبی با معیارهای آماری حساسیت (Sensitivity)، شفافیت (Specificity) و صحت (Accuracy) انجام شد. نقشهٔ پیش‌بینی سیالاب شهری تهیه شده با استفاده از معیارهای درصد مساحت زیرمنحنی (AUC) و تراکم سیالاب (فراآنی سیالاب‌های مشاهده‌ای در هر کلاس از نقشهٔ حساسیت‌پذیری وقوع سیالاب) ارزیابی شد. نتایج حاکی از نقش مهم فاصله از آبراهه، تراکم آبراهه، بارندگی و تراکم ساختمانی بر وقوع سیالاب شهر سنندج در مقایسه با سایر عوامل است. نتایج نشان داد که روش ترکیبی فازی-دلفی-سلسله مراتبی با توجه به مقدار ۱۰۰ درصد، ۷۵/۷ درصد و ۷۸/۸ درصد بهترین برای حساسیت، شفافیت و صحت طبقه‌بندی مورد تأیید قرار گرفت. همچنین، نتایج نشان داد که نقشهٔ به دست آمده با مدل ترکیبی ارائه شده و نیز با توجه به مقدار درصد مساحت زیرمنحنی (۸۰/۵٪) (۶۰/۵٪)، از صحت بالایی برخوردار است. بنابراین، روش ارائه شده در این پژوهش را می‌توان در نواحی شهری دیگر حساس به‌وقوع سیال، برای شناسایی و مدیریت آن‌ها مورد آزمایش و استفاده قرار داد.

**واژه‌های کلیدی:** استان کردستان، تراکم آبراهه، تصمیم‌گیری چندمعیاره، مخاطرات طبیعی

#### نوع مقاله: پژوهشی

\*مسئول مکاتبات، پست الکترونیکی: behnam.sh6565@gmail.com

استناد: شیرزادی، بهنام، ویسی، فرزاد، قربانی، محمدصادیق، شیرزادی، عط الله، و شهابی، هیمن (۱۴۰۳). پیش‌بینی سیالاب شهر سنندج با استفاده از روش ترکیبی فازی-دلفی در شهر سنندج. *مدل سازی و مدیریت آب و خاک*, ۳(۴)، ۱۴۳-۱۵۸.

DOI:10.22098/mmws.2023.12866.1285

تاریخ دریافت: ۱۹/۰۲/۱۴۰۲، تاریخ بازنگری: ۰۳/۰۳/۱۴۰۲، تاریخ پذیرش: ۰۵/۰۳/۱۴۰۲، تاریخ انتشار: ۰۵/۰۳/۱۴۰۲

مدل سازی و مدیریت آب و خاک، سال ۱۴۰۳، دوره ۴، شماره ۳، صفحه ۱۳۳ تا ۱۵۸

ناشر: دانشگاه محقق اردبیلی



## ۱- مقدمه

پهنه‌بندی سیلاب سعی بر آن است که تمامی نواحی اطراف رودخانه و سیلاب دشت‌ها به منظور کنترل کاربری و توسعه اراضی، به قسمت‌هایی با خطرپذیری مختلف تقسیم شود تا در تعیین کاربری اراضی، شناسایی ناحیه در بیمه سیل و ایجاد محدودیت‌های اجرایی در مناطق خطرپذیر استفاده شود (Gravandi, 2011). یکی از روش‌های اصلی در مدیریت و کاهش خسارت‌های سیلاب، پیش‌بینی قبل از وقوع آن می‌باشد. از این‌رو، با توجه به اهمیت موضوع دست‌یابی به راههای مقابله با خسارت این خطر طبیعی به شدت احساس می‌شود. بنابراین، با اعمال مدیریت جامع حوزه‌های آبخیز از طریق شناسایی مناطق مستعد به وقوع سیلاب می‌توان تا حدود زیادی خسارت‌های مالی و جانی این بالای طبیعی را کاهش داد (Zeraatkar, 2011).

شناسایی مناطق مستعد سیلاب در شهرها کمک شایانی در بررسی و تعیین مناطق با احتمال خسارت زیاد را داشته و می‌توان تمهدیات کنترل سیلاب را در نظر گرفته و مسیرهای مطمئن برای امدادرسانی و مکان‌های امن برای اسکان مردم را شناسایی کرد (Rahmani et al., 2014). نقشه پهنه‌بندی حساسیت سیلاب می‌تواند به منزله ابزاری کارآمد در برنامه‌ریزی مسیر توسعه آینده شهر، شناخت نواحی که توسعه زیرساخت‌های تخلیه و زهکشی سیلاب مورد نیاز است، استفاده شود (Büchele et al., 2006).

کشور ایران با توجه به اقلیم خشک و نیمه خشک به لحاظ سیل خیزی هفت‌میون کشور دنیا است. سطح مناطق سیل خیز کشور حدود ۹۱ میلیون هکتار برآورد شده است. به عبارتی دیگر ۵۵ درصد از سطح کشور در تولید رواناب مستقیم و سریع نقش داشته که حدود ۴۲ میلیون هکتار آن دارای شدت سیل خیز متواتر تا خیلی زیاد است (Ahmadi Iikhchi et al., 2003).

رویارویی با بحران‌های محیط شهری یکی از موضوعاتی است که بیشتر شهرها با آن روبرو هستند. سیل به عنوان یکی از بلای، سالانه حدود ۱۹۶ میلیون نفر در بیش از ۹۰ کشور در معرض خطر آن قرار دارند. حدود ۱۷۰ هزار نفر به‌وسیله سیل‌هایی که در کل دنیا در حدود سال‌های ۱۹۷۰–۲۰۰۰ اتفاق افتاده است، کشته شده‌اند (UNDP, 2004).

سیلاب شهری منشاً محلی و موضعی داشته و مسائلی مانند آلودگی جدی آب را به همراه دارد. سیلاب‌های شهری ناگهانی بوده و روی سطوح شهری (خیابان‌ها، پارک‌ها، پارکینگ‌ها) و در انهر کوچک شهری که آب را به داخل محل‌های جمع‌آوری آب تخلیه می‌کنند، رخ می‌دهد (Moghadamnia and Vafakhah, 2018).

جمعیت، توسعه شهرها و به‌تبع آن تجاوز به بستر و حریم رودخانه‌ها و سیلاب دشتها برای احداث اعیانی و افزایش سطوح غیرقابل نفوذ باعث شده که در سال‌های اخیر روند تعداد و بزرگی سیل‌ها

سیلاب یکی از شایع‌ترین مخاطرات طبیعی یا به عبارتی بلای‌های طبیعی است که هر ساله موجب تلفات انسانی و خسارت به ساختمان‌ها، تأسیسات، باغات، کشت‌زارها و منابع طبیعی می‌شود (Kazemi and Jafarpour, 2022).

سیل، موانع اساسی برای رسیدن به توسعه پایدار اقتصاد و جامعه را فراهم می‌سازد (Ye et al., 2019). سیل به عنوان یک بلای طبیعی مکرر، ویرانگر و پرهزینه در نتیجه تقابل تأثیرات تغییرات آب و هوایی جهانی و فعالیت‌های انسانی در دهه اخیر فراوان تر و شدیدتر شده‌اند (Moon et al., 2024)، بهویژه در مناطق شهری با وجود دارایی‌های مادی زیاد، نفوذپذیری ضعیف آبهای سطحی و سامانه‌های زهکشی غیرقابل تحمل (Anni et al., 2020).

امروزه، شهرنشینی زمان تمرکز زهکش‌ها را کاهش و حداکثر طغيان رودخانه‌ها را افزایش می‌دهد. با توسعه شهری، جابه‌جایی و از بین رفتن پوشش گیاهی، سطوح سنگ‌فرش و آسفالت و کانال‌های رودخانه‌ای نیز تغییر می‌کنند. در نتیجه، عمل نفوذ آب به زمین متوقف و منجر به افزایش سرعت حجم بیش‌تر آب و خطر وقوع رواناب و سیل می‌شود (Mohammadi et al., 2006).

به عبارت دیگر مناطق شهری به‌دلیل جمعیت متراکم و توسعه سطح خود بهویژه در برابر تغییرات اقلیم آسیب‌پذیر و شرایط برای سیلاب‌های شهری بیش‌تر مهیا می‌شود. روند مدرن شهرنشینی مناظر را تغییر داده و شهرهای بزرگی را نیز ایجاد کرده است که اکنون به‌دلیل این تغییرات آب و هوایی با خطر شدید سیل روبه‌رو هستند. این رشد سریع شهری، همراه با تغییرات کاربری زمین، فرآیندهای هیدرولوژیک طبیعی را تغییر داده، سطوح نفوذپذیر را کاهش و رواناب را افزایش داده است (Dharmarathne et al., 2024).

طبق تعریف، سیل یک جریان شدید و استثنایی است، هرچند که هر جریان استثنایی به سیل ویرانگر و مخرب تبدیل نخواهد شد، بلکه عوامل مختلفی بایستی در طبیعت تغییر یابند تا تخریب و خسارت و تلفات به همراه داشته باشد (Asghari Moghadam, 1998).

افزایش وقوع و تکرار سیل‌ها رابطه مستقیمی با پیشرفت فن‌آوری و تصرف اراضی دارد (Asghari Moghadam, 1998).

به‌طور کلی سیلاب‌ها را می‌توان به چهار گروه، ناگهانی، رودخانه‌ای، شهری و ساحلی تقسیم‌بندی نمود. سیلاب‌های شهری معمولاً تلفات جانی کمتری به همراه دارند و عمدها باعث بروز خسارات ناشی از آبگرفگی، اختلال در عبور و مرور، وقفه در فعالیت‌های اجتماعی-اقتصادی و مشکلاتی از این قبیل می‌شوند. در حالی که خسارت ناشی از سیلاب‌های برون شهری غالباً سنگین و گاه همراه با تلفات زیاد و فاجعه‌آمیز است (Rahmani et al., 2014).

پهنه‌بندی سیل بیان گر تعیین میزان پیشروی سیلاب، ارتفاع و خصوصیات آن در دوره بازگشت‌های مختلف می‌باشد. در

جغرافیایی صریح است، تفاوت‌های زیادی در این تکنیک‌ها وجود دارد (Malczewski, 2004).

با توسعه روز افزون مناطق شهری و تغییر هیدرولوژی محیط‌ها، مناطق غیرقابل نفوذ توسعه یافته است که این حالت موجب افزایش حجم و ارتفاع رواناب ناشی از بارش در حوضه‌های شهری می‌شود. جریان جاری شده در حوضه‌های شهری به‌دلیل عبور از مناطق مختلف در سطح شهر دارای کیفیت نامناسب بوده و همراه خود مقدار زیادی آب‌گذگاری حمل می‌نماید. در صورت عدم زهکشی مناسب رواناب ناشی از بارش‌های شهری امکان بروز سیلاب در سطح شهر افزایش می‌یابد. به‌دلیل اثرات مخرب ناشی از سیلاب در حوضه‌های شهری، چگونگی انتقال، مدیریت و تخلیه رواناب‌های ایجاد شده در سطح شهر مورد توجه پژوهش‌گران و سازمان‌های مربوطه از جمله شهرداری‌ها قرار گرفته است (Ghahrodi Tali, Shabani Langrani, 2011). به عنوان مثال، (Fernández et al., 2007) به مدیریت سیلاب‌های شهری با طراحی پایگاه داده در شهر نور استان مازندران پرداخته و به‌این نتیجه رسیده است که مدیریت سیلاب‌های شهری بدون ساختار یکپارچه از داده‌های مکانی امکان‌پذیر نیست. در پژوهش دیگری، (Sadeghi et al., 2003) به پهنه‌بندی خطر سیلاب شهری در ایالت توکومان، آرژانتین، با استفاده از GIS و تحلیل تصمیم‌گیری چندمعیاره<sup>۳</sup> پرداختند. آن‌ها از پنج عامل مؤثر بر موقع سیل شامل فاصله از کانال‌های زهکشی، توپوگرافی (ارتفاع و شیب)، عمق جداول آب سطحی و کاربری ارضی شهری استفاده نمودند. نتایج مطالعه آن‌ها نشان داد که قسمت جنوب شرقی سانتیاگو دو توکومان دارای بالاترین خطر سیلاب روی یک منطقه گسترده به‌دلیل وجود زمین‌های پست با شیب کمتر از ۰/۶ درصد و حضور کانال‌های شهری با برنامه تعمیر و نگهداری ضعیف است. این مدل با استفاده از روش انتشار خطا و تحلیل حساسیت برای ارزیابی عدم قطعیت و اهمیت نسبی عوامل ورودی مدل مورد بررسی قرار گرفت. همچنین، (Allahveisi et al., 2013) عوامل شهری مؤثر در خطر سیلاب‌های شهر سندج را شناسایی کردند. نتایج پژوهش آن‌ها که با بررسی متغیرهای توپوگرافی، کاربری ارضی و شبکه معابر شهر سندج به‌دست آمده است، نشان داد که به‌دلیل طراحی شبکه معابر و تفکیک ارضی بدون توجه به شیب عمومی زمین، در بسیاری از مناطق پایی کوه (شیب ۲۰–۳۰ درصد)، شبکه زهکشی طبیعی زمین برهم خورده و غالباً با مسئله سیلاب‌های شهری مواجه هستند. در ادامه، (Sowmya et al., 2015) به عنوان آسیب‌پذیری سیلاب شهری در شهر کوچین واقع در ساحل جنوب غربی آقیانوس هند، از سنجش از دور و ArcGIS

در کشور به‌شدت افزایش یافته و هر ساله خسارات فراوانی به دولت و مردم تحمیل کند (Zeraatkar, 2011).

اوین گام در طرح‌های مدیریتی سیلاب تهیه نقشه پهنه‌بندی سیل<sup>۱</sup> است (Wang et al., 2018). برای تهیه این نقشه‌ها روش‌های متفاوتی وجود دارد. گسترش خسارات سیلاب و پیامدهای ناشی از آن اهمیت و لزوم اعمال مدیریت سیلاب‌ها را هر چه بیش‌تر آشکار می‌سازد. در این میان، تعیین محدوده پیشروی سیلاب و ارتفاع آن نسبت به مسیل اصلی و تعیین مشخصات سیلاب در دوره‌های بازگشت مختلف که تحت عنوان پهنه‌بندی Vafaei et al., 2022) امروزه استفاده از سامانه‌های اطلاعات جغرافیایی<sup>۲</sup> این امکان را فراهم می‌آورد. نخستین فعالیت‌ها در مورد کاربرد سامانه اطلاعات جغرافیایی در مطالعه پدیده سیلاب در اوایل دهه ۱۹۸۰ میلادی انجام شده که اوین کارها در این زمینه با تحلیل مدل ارتفاعی رقومی برای داده‌های هیدرولوژی شروع شد؛ اما ارتباط مدل‌های هیدرولوژیک و سامانه اطلاعات جغرافیایی (GIS) از اوایل دهه ۱۹۹۰ شروع شده و مورد استفاده قرار گرفته است (Sadeghi et al., 2003). سامانه اطلاعات جغرافیایی نوع خاصی از سامانه‌های اطلاعاتی هستند که قادرند داده‌های مکانی را مورد پردازش و تحلیل قرار دهند. لذا سامانه اطلاعاتی جهت نیل به اهداف نیاز به مجموعه‌ای از توابع دارد که این مجموعه طیفی از پردازش‌ها از انجام مشاهدات و اندازه‌گیری گرفته، تا پیش‌بینی و اخذ تصمیم، را تحت پوشش قرار می‌دهد. در یک نگرش ساده، GIS یک سامانه اطلاعات کامپیوتی است که به‌منظور نمایش رقومی پدیده‌های جغرافیایی موجود در روی سطح زمین و تحلیل حواشی که اتفاق می‌افتد به کار می‌رود. در این سامانه می‌توان داده‌های غیرمکانی را به‌گونه‌ای منطقی به داده‌های مکانی ارتباط داد. هر داده باید زمین مرجع شود که این نکته اساسی جهت مرتبط نمودن پایگاه داده‌ها به داده‌های گرافیکی است (Rasouli, 1998). به‌طور کلی، هر مسئله در تصمیم‌گیری مکانی را می‌توان در سه فاز مهم سازماندهی کرد: ۱) فاز هوشمندی که مسئله یا فرصت تغییر را آزمایش می‌کند، ۲) فاز طراحی که گزینه‌ها را تعیین می‌کند و ۳) فاز انتخاب که بهترین گزینه را انتخاب می‌نماید. قابلیت‌های GIS در ذخیره داده‌ها، مدیریت و تحلیل به عنوان مهم‌ترین دستیار در رویکرد تصمیم‌گیری مکانی مطرح است. روش‌های مبتنی بر GIS به‌طور مؤثری داده‌های مکانی و توصیفی را تبدیل به استنتاج تصمیم‌گیری می‌نماید. از آن‌جا که تحلیل چندمعیاره مکانی شامل اجزاء

<sup>۱</sup> Flood mapping

<sup>۲</sup> Geographic information system (GIS)

و تراکم آبراهه به ترتیب بیشترین اثرگذاری بر وقوع سیلاب شهری داشتند.

اگرچه موروث منابع نشان‌دهنده بسط و توسعه روش‌های دانش مبنای روش‌های آماری و الگوریتم‌های هوش مصنوعی<sup>۱</sup> در کمال‌های زهکشی و نزدیکی به آب‌های ساحلی است که در آن تأثیر جزر و مد وجود دارد.

از سایر پژوهش‌ها، Ahmadzade et al. (2015) به بررسی و پهنه‌بندی مناطق مستعد به‌وقوع سیل با تأکید بر سیلاب‌های شهری در شهر ماکو پرداختند. ویژگی‌های فیزیوگرافی محدوده مورد مطالعه (درجه شیب، کاربری اراضی، نوع خاک، پوشش گیاهی و ارتفاع رواناب) با استفاده از تصاویر ماهواره‌ای، توابع تحلیلی GIS و WMS تهیه شدند. نتایج نشان داد که تپوگرافی زیاد، ضخامت کم عناصر منفصل روی سنج بستر و ظرفیت ناچیز آن‌ها برای نگهداری آب، نبود پوشش گیاهی مناسب، تجاوز به حریم سیلاب‌ها و تبدیل آن‌ها به سطوح نفوذناپذیر، شرایط را برای جریان سیل‌های مخرب به‌ویژه هنگام وقوع بارش‌های رگباری در ماههای خشک سال مهیا می‌سازد. در پژوهشی، Azadtalab et al. (2020) اقدام به پهنه‌بندی خطر سیلاب در شهر سنتنچ با استفاده از مدل‌های ترکیبی شاخص آماری و تابع شواهد قطعی نمودند. آن‌ها از عوامل درصد شیب، جهت شیب، ارتفاع، فاصله از رودخانه، تراکم رودخانه، تجمع جریان، کاربری اراضی، انحنای شیب، لیتوژوژی، فاصله از معابر، تراکم معابر، فاصله از ساختمان، تراکم ساختمان و میزان بارندگی استفاده نمودند. نتایج آن‌ها بیان گر برتری مدل ترکیبی نسبت به مدل‌های منفرد است و نیز بیان کردند که عوامل تراکم ساختمانی و تراکم معابر بیشترین اثرگذاری بر وقوع سیلاب شهری در شهر سنتنچ را دارند. هم‌چنین، Sayyad et al. (2022) اقدام به ارائه راهبردهای مناسب مدیریتی زیرساخت‌های شهری در برابر سیلاب از منظر پدافند غیرعامل با استفاده از QSPM و SWOT در شهر کاشان نمودند. نتایج پژوهش آن‌ها نشان داد که از بین عوامل داخلی (قوتها و ضعفها) و عوامل خارجی (تهدیدها و فرصت‌ها) به ترتیب عامل قرارگیری تأسیسات زیرساخت شهری در مسیر و سابقه سیل و ایجاد خسارت در گذشته مهم‌ترین ضعف و تهدید در منطقه هستند. امتیاز نهایی عوامل داخلی و خارجی نشان از غالب بودن نقاط ضعف و تهدیدهای جدی در منطقه است. در نهایت، Ahmadi et al. (2023) اقدام به پهنه‌بندی سیلاب شهر سنتنچ با روش فازی نمودند. آن‌ها از شش عامل مؤثر زاویه شیب، ارتفاع از سطح دریا، انحنای شیب، تراکم زهکشی، کاربری اراضی و فاصله از آبراهه استفاده نمودند. نتایج نشان داد که عامل فاصله از آبراهه

## ۲- مواد و روش‌ها

### ۲-۱- منطقه مورد مطالعه

شهر سنتنچ بین ۳۵ درجه و ۱۵ دقیقه تا ۳۵ درجه و ۲۰ دقیقه عرض جغرافیایی شمالی و ۴۶ درجه و ۵۷ دقیقه تا ۴۷ درجه و ۲ دقیقه طول جغرافیایی شرقی در مرکز کردستان میان رشته‌کوه‌های زاگرس قرار گرفته است. محل جغرافیایی شهر در دره نسبتاً وسیعی است که به وسیله کوه‌های مرتفع محصور شده است (شکل ۱). شهر سنتنچ با توجه به نزدیکی به رودخانه قشلاق و بافت شهری و تأثیرات محیط شهری در معرض هر دو نوع سیلاب شهری و برون‌شهری است. میزان بارندگی سالانه در شهر سنتنچ حدود ۴۹۱ میلی‌متر است. علی‌رغم این مقدار بارندگی، آن‌چه اقلیم سنتنچ را نیمه‌خشک می‌سازد توزیع نامناسب بارش آن است. در مجموع ۹۹ درصد بارش سالانه سنتنچ در ماههای سرد سال؛ یعنی اکتبر (مهر) و آوریل (فروردين) و تنها ۱۱ درصد آن در ایام گرم سال حاصل می‌شود. در حالی که از تبخیر-تعرق بالقوه سنتنچ، ۱۹ درصد در ماههای مهر و فروردین و ۸۱ درصد آن در ایام گرم سال صورت می‌پذیرد (Allahveisi et al., 2012).

**۲-۲- نقشه پراکنش سیلاب‌های منطقه مورد مطالعه**

شناسایی مناطقی که سیلاب در آن جا اتفاق افتاده‌اند، برای صحبت‌سنگی نقشه نهایی سیلاب شهری بسیار حائز اهمیت است. برای این منظور از کارشناسان و متخصصان و مصاحبه محلی و بررسی‌های میدانی در سطح شهر سنتنچ جهت شناسایی این مناطق استفاده شد. بر این اساس، ۳۷ نقطه توسط دستگاه سامانه موقعیت‌یاب جهانی<sup>۲</sup> شناسایی و ثبت شدند. بیشتر این مناطق

استفاده کردند. آن‌ها دریافتند در میان سه منطقه آسیب‌پذیر، مناطق آسیب‌پذیر بسیار بالا و بالا با هم ۸/۶ درصد از کل مساحت شهرستان را تشکیل می‌دهد و عمدت‌ترین عوامل تأثیرگذار انسداد کanal‌های زهکشی و نزدیکی به آب‌های ساحلی است که در آن تأثیر جزر و مد وجود دارد.

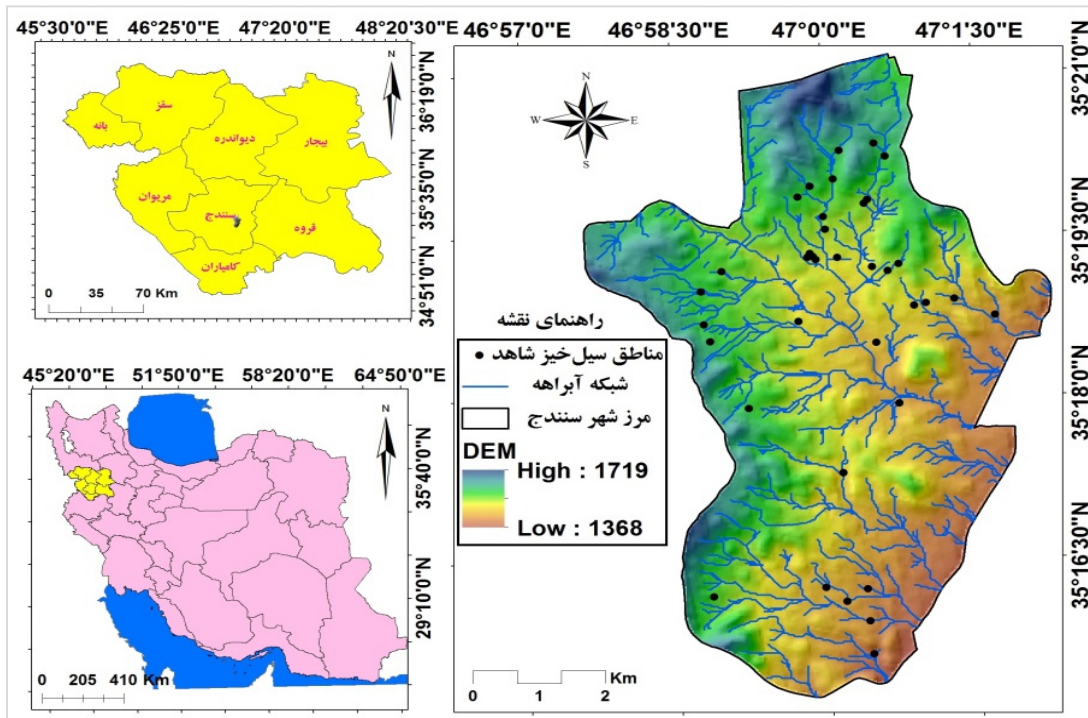
از سایر پژوهش‌ها، Ahmadzade et al. (2015) به بررسی و پهنه‌بندی مناطق مستعد به‌وقوع سیل با تأکید بر سیلاب‌های شهری در شهر ماکو پرداختند. ویژگی‌های فیزیوگرافی محدوده مورد مطالعه (درجه شیب، کاربری اراضی، نوع خاک، پوشش گیاهی و ارتفاع رواناب) با استفاده از تصاویر ماهواره‌ای، توابع تحلیلی GIS و WMS تهیه شدند. نتایج نشان داد که تپوگرافی زیاد، ضخامت کم عناصر منفصل روی سنج بستر و ظرفیت ناچیز آن‌ها برای نگهداری آب، نبود پوشش گیاهی مناسب، تجاوز به حریم سیلاب‌ها و تبدیل آن‌ها به سطوح نفوذناپذیر، شرایط را برای جریان سیل‌های مخرب به‌ویژه هنگام وقوع بارش‌های رگباری در ماههای خشک سال مهیا می‌سازد. در پژوهشی، Azadtalab et al. (2020) اقدام به پهنه‌بندی خطر سیلاب در شهر سنتنچ با استفاده از مدل‌های ترکیبی شاخص آماری و تابع شواهد قطعی نمودند. آن‌ها از عوامل درصد شیب، جهت شیب، ارتفاع، فاصله از رودخانه، تراکم رودخانه، تجمع جریان، کاربری اراضی، انحنای شیب، لیتوژوژی، فاصله از معابر، تراکم معابر، فاصله از ساختمان، تراکم ساختمان و میزان بارندگی استفاده نمودند. نتایج آن‌ها بیان گر برتری مدل ترکیبی نسبت به مدل‌های منفرد است و نیز بیان کردند که عوامل تراکم ساختمانی و تراکم معابر بیشترین اثرگذاری بر وقوع سیلاب شهری در شهر سنتنچ را دارند. هم‌چنین، Sayyad et al. (2022) اقدام به ارائه راهبردهای مناسب مدیریتی زیرساخت‌های شهری در برابر سیلاب از منظر پدافند غیرعامل با استفاده از QSPM و SWOT در شهر کاشان نمودند. نتایج پژوهش آن‌ها نشان داد که از بین عوامل داخلی (قوتها و ضعفها) و عوامل خارجی (تهدیدها و فرصت‌ها) به ترتیب عامل قرارگیری تأسیسات زیرساخت شهری در مسیر و سابقه سیل و ایجاد خسارت در گذشته مهم‌ترین ضعف و تهدید در منطقه هستند. امتیاز نهایی عوامل داخلی و خارجی نشان از غالب بودن نقاط ضعف و تهدیدهای جدی در منطقه است. در نهایت، Ahmadi et al. (2023) اقدام به پهنه‌بندی سیلاب شهر سنتنچ با روش فازی نمودند. آن‌ها از شش عامل مؤثر زاویه شیب، ارتفاع از سطح دریا، انحنای شیب، تراکم زهکشی، کاربری اراضی و فاصله از آبراهه استفاده نمودند. نتایج نشان داد که عامل فاصله از آبراهه

<sup>3</sup> Global position system (GPS)

<sup>1</sup> Artificial intelligence algorithms (AI)

<sup>2</sup> Expert-knowledg methods

نزدیک به مناطق با تراکم مسکونی زیاد و زهکش‌هایی است که در اثر ساخت و ساز شهری قطع شده‌اند. شکل ۲ برخی از سیلاب‌های اتفاق افتاده را در سطح شهر سنندج نشان می‌دهند.



شکل ۱- موقعیت منطقه مورد مطالعه در ایران و استان کردستان  
Figure 1- Location of the study area in Iran and Kurdistan Province



شکل ۲- نمونه‌ای از سیلاب‌های اتفاق افتاده در سطح شهر سنندج (<https://tn.ai/1979671>)

Figure 2- Examples of the floods in Sanandaj City (<https://tn.ai/1979671>)

برای کاهش پیچیدگی محاسبات بزرگ است. پژوهش حاضر در ابتدا بر اساس نقشهٔ موقعیت جغرافیایی سیلاب‌های سیلاب شهری ثبت شده توسط کارشناسان فنی و اجرایی شهرداری شهرستان سنندج و مصاحبه محلی در منطقه وقوع سیل، آغاز شد. سپس ۱۴ عامل در ارتباط با وقوع سیلاب‌های شهر سنندج شناخته شدند. بر این

۳-۲- عوامل مؤثر و مرتبط با وقوع سیلاب شهری  
نخستین مرحله در تهیه نقشهٔ پیش‌بینی مکانی سیلاب شهری، تبدیل لایه‌های وکتوری به لایه‌های رستری است. قدرت تفکیک مکانی<sup>۱</sup> تمامی لایه‌ها ۲۰×۲۰ متر است که برای قرار گرفتن خصوصیات مکانی سیلاب‌ها کوچک مناسب بوده و به اندازه کافی

<sup>۱</sup> Resolution

اساس رابطه رگرسیونی بین ارتفاع و میانگین بلندمدت سالانه بارندگی ایستگاه‌های باران‌نمودنی اطراف محدوده مورد مطالعه، نقشه‌های فاصله از آبراهه، تراکم آبراهه بر اساس شبکه آبراهه‌های منطقه مورد مطالعه، نقشه فاصله از معابر و تراکم معابر نیز بر اساس نقشه معابر شامل خیابان و پیاده‌روهای سطح شهر، نقشه فاصله از مناطق مسکونی و تراکم ساختمانی نیز بر اساس نقشه مناطق مسکونی سطح شهر، تهیه شدند. جدول ۱ طبقه‌بندی این عوامل را نشان می‌دهد.

اساس، با استفاده از نقشه مدل رقومی ارتفاع، نقشه رقومی زمین‌شناسی شهرستان سنتنج با مقیاس ۱:۱۰۰۰۰۰ برگرفته از سازمان زمین‌شناسی کشور، نقشه‌های درجه شیب، ارتفاع از سطح دریا، انحنای شیب<sup>۱</sup> و تجمعی جریان<sup>۲</sup> از نقشه رقومی ارتفاع در محیط ArcGIS 10.5 ساخته شدند. نقشه کاربری اراضی سال ۱۳۹۰ منطقه مورد مطالعه از اداره مسکن و شهرسازی استان کردستان، نقشه‌های سنگ‌شناسی از نقشه زمین‌شناسی شهرستان سنتنج با مقیاس ۱:۱۰۰۰۰۰، نقشه بارندگی (خطوط هم‌باران) بر

جدول ۱ - عوامل اثرگذار بر وقوع سیلاب شهر سنتنج و کلاس‌های آن‌ها (منبع: نویسندهان)

Table 1- Influencing factors on floods in Sanandaj City and their classification (Source: Authors)

عوامل مؤثر	طبقه‌بندی کلاس‌های مختلف عوامل مؤثر
زاویه شیب (درصد)	(1) 0-10, (2) 10-20, (3) 20-30, (4) 30-40, (5) >40
جهت شیب (آزیموت)	شمال غرب (9) غرب (8) جنوب غرب (7) جنوب (6) جنوب شرق (5) شرق (4) شمال شرق (3) شمال (2) مسطح (1)
ارتفاع (متر)	(1) 1368-1400, (2) 1400-1500, (3) 1500-1600, (4) 1600-1700, (5) >1700
انحنای شیب	(1) (- 0.3099) - (- 0.2655) {(- 0.2255) - (- 0.225)} {(- 0.225) - (3.471)}
تجمعی جریان	(1) 0 - 1343, (2) 1343 - 5915.282, (3) 5915.282 - 11113.560, (4) 11113.560 - 14698.580, (5) 14698.580 - 45709
کاربری اراضی	ساختمانی (مترا کیلومتر مربع)
تراکم ساختمانی (مترا کیلومتر مربع)	فاصله از مناطق مسکونی (مترا)
تراکم معابر (مترا کیلومتر مربع)	تراکم معابر (مترا کیلومتر مربع)
فاصله از معابر (مترا)	بارندگی (میلی‌متر)
سنگ‌شناسی	(1) 282 - 311, (2) 311 - 330, (3) 330 - 349, (4) 349 - 369, (5) 369 - 412
تراکم آبراهه (مترا کیلومتر مربع)	(1) K2sh (2) Qt2 (3) Kul (4) Kvc
فاصله از آبراهه (مترا)	(1) 0 - 0.00186, (2) 0.00186 - 0.00388, (3) 0.00388 - 0.00574, (4) 0.00574 - 0.00792, (5) 0.00792 - 0.0139
	(1) 0 - 50, (2) 50 - 100, (3) 100 - 150, (4) 150 - 200, (5) > 200

برابر نه، با اهمیت برابر هفت، اهمیت متوسط برابر پنج، کم اهمیت برابر سه و بدون اهمیت برابر یک است.

**۲-۴-۲- محاسبه اعداد فازی**  
پس از مرحله مقدماتی که شامل نظرسنجی از کارشناسان در قالب پرسشنامه‌ای کیفی یا کمی است، محاسبه اعداد فازی بر اساس نتایج این نظرسنجی صورت گرفت. در این حالت اعداد فازی مثلثی به صورت روابط زیر تعریف شدند:

$$\delta_{ij} = (a_{ij} + \delta_{ij} + y_{ij}) \quad (1)$$

$$a_{ij} = \text{Min}(\beta_{ijk}).k = 1, \dots, n \quad (2)$$

$$\delta_{ij} = \left( \prod_k^n = 1 \beta_{ijk} \right)^{\frac{1}{n}}.k = 1, \dots, n \quad (3)$$

$$y_{ij} = \text{Max}(\beta_{ijk}).k = 1, \dots, n \quad (4)$$

در روابط فوق،  $\beta_{ijk}$  نشان دهنده اهمیت نسبی آبراهه از دیدگاه کارشناس  $k$  است. همچنین،  $y_{ij}$  و  $a_{ij}$  به ترتیب حد بالا و حد پایین نظرسنجی کارشناسان و  $\delta_{ij}$  میانگین نسبی نظرهای آنان را نشان می‌دهند.

**۴-۴- مدل ترکیبی فازی-دلفی-تحلیل سلسه مراتبی**  
در پژوهش حاضر که دارای رویکردی توصیفی، تحلیلی، مقایسه‌ای است، به منظور پیش‌بینی سیلاب در شهر سنتنج از روش ترکیبی FDAHP استفاده شد. ابتدا توسط کارشناسان متخصص در امر سیلاب به هر کدام از متغیرها (۱۴ متغیر) امتیازدهی انجام و با استفاده از امتیازات حاصله سایر مراحل مدل مذکور اجرا شد. پس از جمع‌آوری نظرات وزن‌های نسبی شاخص‌ها، با استفاده از فرآیند فازی-دلفی-تحلیل سلسه مراتبی تعیین شدند. در نهایت، نقشه پیش‌بینی وقوع سیلاب شهر سنتنج با استفاده از نرم‌افزار ArcGIS 10.5 تهیه شد.

**۴-۱- نظرسنجی از متخصصان**  
ابتدا به کمک متخصصان (کارشناسان فنی و اجرایی اداره کل منابع طبیعی و آبخیزداری استان کردستان و شهرداری سنتنج) متغیرهای مؤثر بر تصمیم را با توجه به میزان اهمیت آن‌ها به صورت کیفی و یا در صورت امکان به صورت کمی امتیازدهی می‌کنند. مقیاس‌های نظرسنجی شامل بسیار با اهمیت

<sup>2</sup> Flow accumulation

<sup>1</sup> Profile curvature

سیلاب طبقه‌بندی شده‌اند، تعداد نقاط سیلاب‌هایی که به اشتبا به عنوان غیرسیلابی طبقه‌بندی شوند، تعداد نقاط غیرسیلابی که به درستی به عنوان مناطق غیرسیلابی طبقه‌بندی شده‌اند، FP تعداد نقاط غیرسیلابی که به اشتبا به عنوان مناطق سیلابی طبقه‌بندی شده‌اند، می‌باشد (Tsangaratos and Benardos, 2014). در نهایت، بهترین نتیجه از این چهار حالت زمانی است که مقدار TP زیاد و مقدار FP کم باشد (Umar et al., 2014).

### ۳- نتایج و بحث

#### ۱- وزن عوامل مؤثر

نتایج نهایی امتیازدهی در روش ترکیبی فازی-دلفی-سلسله مراتبی در جدول ۲ نشان داده شده است. یافته‌ها نشان داد که شبیه‌های کمتر از ۱۰ درصد (مسطح)، مناطق با ارتفاع از سطح دریای کمتر از ۱۴۰۰ متر، جهت شیب و دامنه‌های بدون انحنای (مسطح)، کاربری ارضی شهری با تراکم ساختمانی، بارندگی‌های بیشتر از ۳۶۹ میلی‌متر و جنس سنگ از نوع Qt2 (آبرفت‌های دوران کواترنر) دارای بیشترین حساسیت نسبت به وقوع سیلاب نسبت به انواع دیگر جنس سنگ‌ها در شهر سنتدج است (جدول ۲). همچنین، نتایج نشان می‌دهد، از یک طرف با افزایش فاصله از مناطق مسکونی، فاصله از معابر و فاصله از آبراهه‌ها از حساسیت به موقع سیلاب شهری کاسته می‌شود. از طرف دیگر با افزایش مقدار تراکم ساختمانی، تراکم معابر و تراکم آبراهه‌ها در شهر سنتدج بهمیزان حساسیت به موقع سیلاب افزوده می‌شود. این نتایج با نتایج Rahmani et al., (2014) که بیان کردند مناطق مسکونی با بیشترین مساحت، خطر آسیب‌پذیری را دارد، مطابقت دارد. همچنین، در شکل ۳ اولویت‌بندی عوامل مؤثر بر وقوع سیلاب در شهر سنتدج بر اساس وزن‌های غیرفازی را نشان می‌دهند. بر این اساس نتایج حاکی از آن است که تراکم آبراهه، زاویه شیب و فاصله از آبراهه بیشترین تأثیرگذاری را در وقوع سیلاب شهر سنتدج داشته‌اند. بارندگی، تراکم معابر، تراکم ساختمانی، فاصله از مناطق مسکونی، فاصله از معابر، تجمعی جریان، ارتفاع، کاربری ارضی، سنگ‌شناصی و انحنای شیب از نظر اهمیت در وقوع سیلاب شهر سنتدج در اولویت‌های بعدی قرار دارند. این نتایج با نتایج Azadtalab et al. (2020) که بیان کردند تراکم ساختمانی نقش مهمی در وقوع سیلاب‌های شهر سنتدج دارند مطابقت دارد. همچنین، با نتایج مطالعه Ahmadi et al. (2023) که نشان دادند فاصله از آبراهه و تراکم آبراهه مهم‌ترین عوامل مؤثر بر وقوع سیلاب شهری هستند هم‌سو می‌باشد.

#### ۴-۳- تشکیل ماتریس مقایسه‌های زوجی فازی

پس از تشکیل اعداد فاری فوق، ماتریس مقایسه زوجی فازی بین مؤلفه‌های مختلف به شرح زیر تشکیل شد:

$$\tilde{A} = [\tilde{a}_{ij}] \cdot a_{ij} \times a_{ij} \approx 1. \forall i, j = 1, \dots, n \quad (5)$$

نمایش دیگر از رابطه فوق به این شکل است:

$$\begin{aligned} \tilde{A} &= \begin{bmatrix} (1.1.1) & (a_{12}, \delta_{12}, y_{12}) & (a_{13}, \delta_{13}, y_{13}) \\ \left(\frac{1}{a_{12}}, \frac{1}{\delta_{12}}, \frac{1}{y_{12}}\right) & (1.1.1) & (a_{23}, \delta_{23}, y_{23}) \\ \left(\frac{1}{a_{13}}, \frac{1}{\delta_{13}}, \frac{1}{y_{13}}\right) & \left(\frac{1}{a_{23}}, \frac{1}{\delta_{23}}, \frac{1}{y_{23}}\right) & (1.1.1) \end{bmatrix} \\ &\text{۴-۴- محاسبه وزن فازی پارامترها} \end{aligned} \quad (6)$$

#### ۴-۴- محاسبه وزن فازی پارامترها

وزن فازی نسبی پارامترها نیز از دو رابطه زیر محاسبه شد:

$$\tilde{z}_i = [\tilde{a}_{i1} \otimes \dots \otimes \tilde{a}_{in}]^{\frac{1}{m}} \quad (7)$$

$$\tilde{w}_{-i} = \tilde{z}_{-i} \otimes (\tilde{z}_{-i} \oplus \dots \oplus \tilde{z}_{-n}) \quad (8)$$

در آن  $\tilde{a}_x \otimes \tilde{a}_y = (a_x \times a_y, \delta_x \times \delta_y, y_x \times y_y)$  و  $\tilde{a}_x \otimes \tilde{a}_y = (a_x/a_y, \delta_x/\delta_y, y_x/y_y)$  بوده و  $\tilde{w}_i$  یک بردار سطحی است که وزن فازی پارامتر آم را نشان می‌دهد.

#### ۴-۵- غیرفازی کردن پارامترهای مدل

در نهایت، برای غیرفازی کردن وزن پارامترهای مدل از رابطه میانگین هندسی زیر استفاده شد که وزن پارامترها در قالب عدد قطعی بدست آمد:

$$w_i = \left( \prod_j^3 w_{ij} \right)^{\frac{1}{3}} \quad (9)$$

#### ۵-۱- ارزیابی صحت خروجی مدل پیش‌بینی مکانی سیلاب

ارزیابی عملکرد مدل ترکیبی پیش‌بینی مکانی سیلاب توسعه میارهای دقت، حساسیت، شفافیت و صحت بررسی شد (Chapi et al., 2017). بر این اساس، در مدلی که مقادیر معیارهای اشاره شده به سمت یک تمایل داشته باشند، مدل مناسبی شناخته می‌شود (Bui et al., 2015). نتیجه معيارهای مدل سازی در مناطق با حضور یا عدم حضور سیلاب به صورت دوگانه مثبت و منفی هستند.

$$\text{Sensitivity} = \frac{\text{TP}}{\text{TP} + \text{FN}} \quad (10)$$

$$\text{Specificity} = \frac{\text{TN}}{\text{TN} + \text{FP}} \quad (11)$$

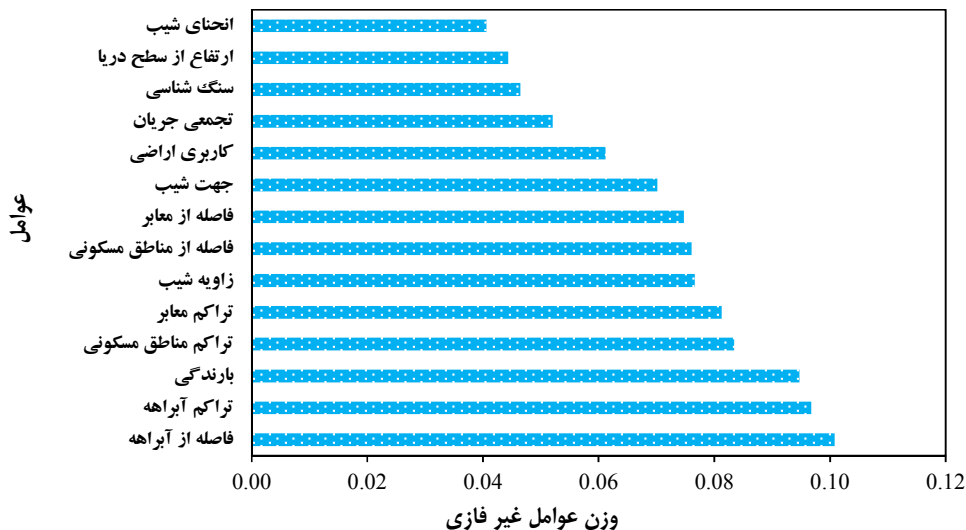
$$\text{Accuracy} = \frac{\text{TP} + \text{TN}}{\text{TP} + \text{TN} + \text{FP} + \text{FN}} \quad (12)$$

این طبقه‌بندی منجر به ایجاد چهار حالت TP، TN، FP و FN می‌شود که به ترتیب تعداد نقاط سیلاب‌هایی که به درستی به عنوان

جدول ۲- وزن‌های غیرفازی عوامل مؤثر بر وقوع سیلاب شهر سنندج

Table 2- Non-fuzzy weights of influencing factors on the occurrence of floods in Sanandaj City

طبقات عوامل مؤثر	زن	شیب	جهت	ارتفاع	انحنای ارضی	تجمعی	مناطق از کاربری	مناطق از مسکونی	مناطق از آبراهه	تراکم آبراهه	بارندگی	ستگ شناسی	تراکم بازار	فاصله از معاشر	فاصله از معاشر	فاصله از آبراهه
1	0.318	0.077	0.044	0.041	0.052	0.061	0.076	0.083	0.075	0.081	0.095	0.046	0.097	0.101	0.320	0.279
2	0.236	0.095	-	0.110	-	0.316	-	-	-	0.109	0.293	0.348	-	0.123	0.156	0.279
3	0.203	0.077	0.044	0.041	0.052	0.061	0.076	0.083	0.075	0.081	0.095	0.046	0.097	0.101	0.123	0.156
4	0.147	0.077	0.169	0.160	-	0.262	0.133	0.166	0.236	0.139	0.262	0.257	0.159	0.279	0.123	0.199
5	0.095	-	-	-	-	-	-	-	-	-	-	-	-	-	-	0.123



شکل ۳- اولویت‌بندی عوامل مؤثر بر وقوع سیلاب شهر سنندج با روش ترکیبی فازی-دلفی-تحلیل سلسنه مراتبی

Figure 3- Prioritization of factors affecting the occurrence of floods in Sanandaj City with the Fuzzy-Delphi-AHP hybrid model

جدول ۳- معیارهای ارزیابی صحت مدل ترکیبی FDAHP

Table 3- Criteria for evaluating the accuracy of the combined FDAHP model

پارامترها	FDAHP	مدل ترکیبی
True positive (TP)	37	
True negative (TN)	28	
False positive (FP)	9	
False negative (FN)	0	
Sensitivity	1	
Specificity	0.757	
Accuracy	0.878	

### ۳-۳- نقشه پیش‌بینی سیلاب شهر سنندج

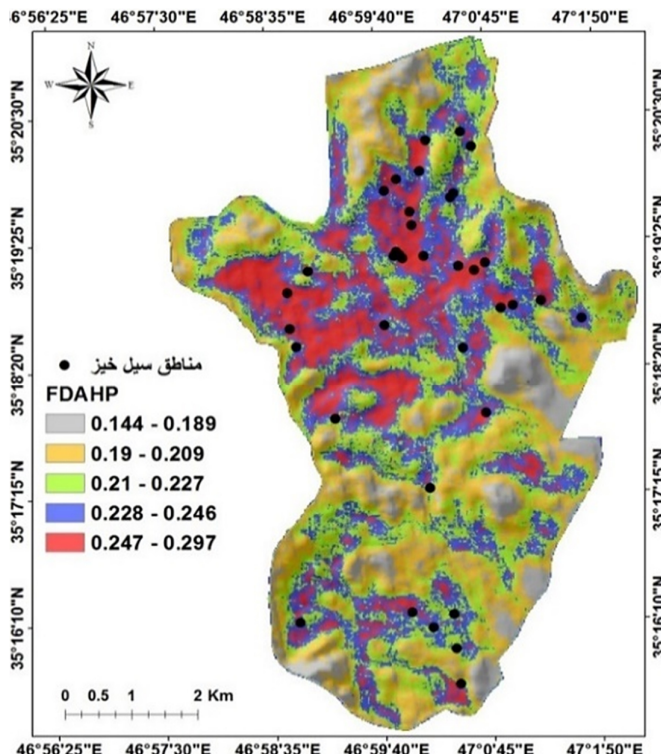
با استفاده از روش ترکیبی فازی-دلفی-سلسله مراتبی، در ابتدا بر اساس نظرسنجی متخصصان، اعداد فازی با استفاده از روابط (۱) تا (۴) محاسبه شد. سپس با تشکیل ماتریس مقایسه‌ای زوجی فازی توسط روابط (۵) و (۶)، وزن فازی پارامترها با استفاده از روابط (۷) و (۸) محاسبه شد. در نهایت، وزن‌های غیرفازی با استفاده از رابطه (۹) محاسبه و به هر کدام از عوامل مؤثر بر وقوع سیلاب در منطقه مورد مطالعه اعمال شد. بر این اساس، نقشه حساسیت سیلاب شهری با روش Quantile در محیط ArcGIS

۲-۳- ارزیابی کارایی مدل ترکیبی FDAHP

جدول ۳ نتایج ارزیابی مدل‌سازی با مدل ترکیبی FDAHP بر اساس موقعیت سیلاب‌های شاهد را نشان می‌دهد. یافته‌های این جدول نشان داد که مقادیر حساسیت، شفافیت و صحت بهتر تریب یک، ۰/۷۵۷ و ۰/۸۷۸ به دست آمدند. مقدار ۱۰۰ درصد برای حساسیت بهاین معنی است که این مدل توانسته است تمامی مناطقی که سیلاب در آن جا حضور داشته‌اند را به درستی به عنوان مناطق سیلابی پیش‌بینی نماید. همچنین، مقدار ۰/۷۵۷ برای شفافیت نشان‌دهنده این موضوع است که ۷۵/۷ درصد از مناطق غیرسیلابی طبقه‌بندی شده‌اند. این در حالی است که صحت کلی طبقه‌بندی هم مناطق سیلابی و غیرسیلابی در کل ۸۷/۸ درصد توسط مدل ترکیبی استفاده شده پیش‌بینی شده است.

وقوع سیل دارند (رنگ قرمز در شکل ۴). این نتیجه با نتایج مطالعه Allahveisi et al. (2012) مطابقت دارد. این در حالی است که مناطق با حساسیت خیلی کم و کم در نوک کوهها و مناطقی که تحت پوشش فضای سبز شهری با ظرفیت بالای نفوذپذیری و کاهش رواناب ناشی از بارندگی‌های رگباری بهخصوص در فصل بهار و اوایل تابستان (رگبارهای تند فرسایشی) قرار دارند، واقع شده‌اند.

تهیه و به پنج کلاس حساسیت خیلی کم (۰/۱۸۹-۰/۱۴۴)، متوسط (۰/۲۰۹-۰/۱۹۰)، حساسیت بالا (۰/۲۲۷-۰/۲۱۰)، حساسیت خیلی بالا (۰/۲۴۶-۰/۲۲۸) و حساسیت خیلی بالا (۰/۲۹۷-۰/۲۴۷) طبقه‌بندی و تهیه شد. شکل ۴ نقشه پیش‌بینی مکانی مناطق با پتانسیل‌های مختلف سیلاب شهری در شهر سنندج را نشان می‌دهد. با مشاهده شکل ۴ نشان می‌دهد که مناطق پای کوهی و مناطقی که تراکم ساختمان زیاد است، بهدلیل افزایش درصد اراضی غیرقابل نفوذ پتانسیل بالاتری برای



شکل ۴- نقشه پیش‌بینی سیلاب شهر سنندج با استفاده از مدل ترکیبی FDAHP

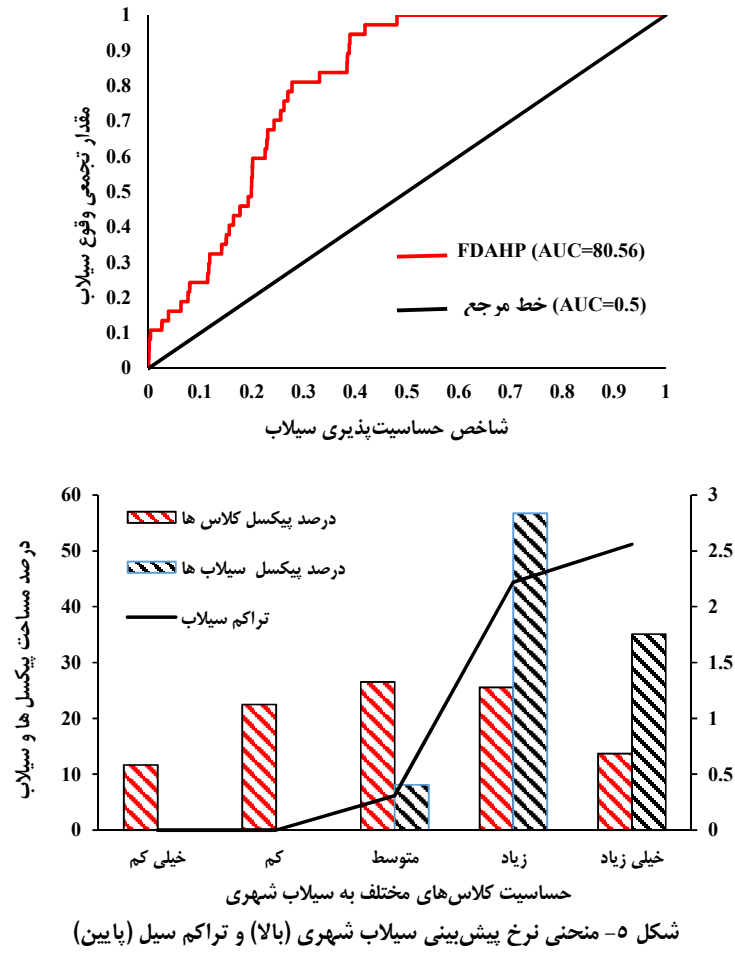
Figure 4- Urban flood prediction of Snandaj City by FDAHP hybrid model

ترکیبی ۸۰/۵۶ درصد توانایی پیش‌بینی مناطق حساس به وقوع سیلاب شهری را داشته است. علاوه‌بر شاخص PRC برای ارزیابی صحت نقشه از شاخص تراکم سیلاب در کلاس‌های مختلف حساسیت نیز استفاده شد (شکل ۵-بالا). بر این اساس، افزایش شاخص تراکم سیلاب از سمت کلاس با حساسیت خیلی کم به سمت کلاس با حساسیت خیلی زیاد، صحت نقشه به دست آمده را نشان می‌دهد. همچنین، این شکل درصد پیکسل‌های تحت پوشش هر کلاس حساسیت و درصد پیکسل‌های تحت پوشش سیلاب‌ها در هر کلاس از حساسیت را نشان می‌دهند. نتایج توزیع مناطق شاهد سیلابی در کلاس‌های حساسیت نشان

۳-۴- ارزیابی صحت نقشه پیش‌بینی سیلاب شهری بهمنظور ارزیابی صحت نقشه پیش‌بینی سیلاب به دست آمده از منحنی نرخ موفقیت<sup>۱</sup> استفاده شد. برای این منظور از ترسیم نمودار مقایسه‌ای برای موقعیت مکانی وقوع سیلاب‌ها با نقشه‌های پهنه‌بندی حساسیت سیلاب استفاده شد (شکل ۵). ارزیابی صحیح بیان گر این است که مقادیر برآورد شده تا چه مقدار با سیلاب‌های پیش‌بینی شده، مطابقت دارند (Shirzadi et al., 2017). همچنین، نتایج نشان می‌دهد که در مدل ترکیبی فازی-دلگی-تحلیل سلسه مراتبی، درصد مساحت زیرمنحنی (AUC) مقدار ۸۰/۵۶ به دست آمد (شکل ۵). به این معنی که این مدل

<sup>۱</sup> Prediction Rate Curve (PRC)

داد که مناطق با حساسیت به وقوع سیل خیلی کم، متوسط، زیاد و خیلی زیاد به ترتیب دارای صفر،  $۸/۱۰$ ،  $۵۶/۷۵$  و  $۳۵/۱۳$  درصد از نظر درصد فراوانی وقوع سیلاب در هر کلاس بودند.



شکل ۵- منحنی نرخ پیش‌بینی سیلاب شهری (بالا) و تراکم سیل (پایین)  
Figure 5- Prediction rate curve of urban flooding (top) and flood density (bottom)

مشاهده نقشهٔ پیش‌بینی مکانی سیلاب نشان داد که بخش زیادی از شهر سنتدج شامل نیمة شمالی و بخشی از نیمة غربی و مرکز شهر که در برگیرنده نقاط پرترکم شهر از نظر جمعیت انسانی و تراکم ساختمانی نیز می‌باشد و بخشی از نیمة جنوبی شهر که ناحیه ویژه و پرجمعیت شهرک بهاران را شامل می‌شود، حساسیت به وقوع سیلاب زیاد و خیلی زیاد دارند و مناطق حاشیه مرزی اطراف شهر کمتر در معرض این پدیده قرار دارند. بنابراین، با افزایش فاصله از مرکز شهر و نقاط مسکونی بهست حاشیه‌ها، پتانسیل وقوع سیلاب کمتر می‌شود. از طرفی مشخص شد که پیش‌ترين مساحت کل محدوده شهر در خطر متوسط و زیاد است که این امر نشان‌دهنده پتانسیل زیاد وقوع سیلاب در سطح وسیعی از شهر سنتدج است. بر اساس مقدار  $۸۰/۵۶$  درصد مساحت زیر منحنی، نتایج صحبت‌سنجی حاکی از این است که  $۸۰/۵۶$  درصد

#### ۴- نتیجه‌گیری

هدف از انجام این پژوهش پیش‌بینی وقوع سیلاب شهر سنتدج با مدل ترکیبی FDAHP است. از چهارده عامل مؤثر در ابتدا برای مدل سازی استفاده شد. وزن‌های فازی و غیرفازی بر اساس روش دلفی و فازی تهیه شدند. نتایج مدل سازی با سه شاخص حساسیت، شفافیت و دقت کلی طبقه‌بندی مورد ارزیابی قرار گرفت. بر اساس وزن‌های غیرفازی از ماتریس زوجی هر عامل و ماتریس زوجی تمامی عوامل نقشهٔ پیش‌بینی مکانی تهیه و از طریق درصد مساحت زیرمنحنی و شاخص تراکم سیلاب شهری مورد صحبت‌سنجی قرار گرفت. نتایج نشان داد که فاصله از آبراهه، تراکم آبراهه، بارندگی و تراکم ساختمانی به ترتیب بیش‌ترین تأثیرگذاری را در وقوع سیلاب شهر سنتدج داشتند.

بازبینی مقاله؛ عطالله شیرزادی؛ ویرایش و بازبینی مقاله؛ هیمن شهابی؛ ویرایش و بازبینی مقاله.

### منابع

- احمذاده، حسین، سعیدآبادی، رشید، و نوری، الهه (۱۳۹۴). بررسی و پهنه‌بندی مناطق مستعد به وقوع سیل با تأکید بر سیلاب‌های شهری (مطالعه موردی: شهر ماکو، هیدرولوژی و هیدرولوژی، ۲۰، ۲۴-۱. doi:20.1001.1.23833254.1394.2.2.1.0.۲۴-۱)
- امدی ایلخچی، عباس، حاج عباسی، محمد علی، و جلالیان، احمد (۱۳۸۱). اثر تغییر کاربری زمین‌های مرتعی و دیم‌کاری بر تولید رواناب، هدر رفت و کیفیت خاک در منطقه دوراهان، چهارمحال و بختیاری. نشریه تولید و فرآوری محصولات زراعی و باغی، ۴۶، ۱۱۵-۱۰۳. doi:20.1001.1.22518517.1381.6.4.9.7
- اصغری مقدم، محمدرضا (۱۳۷۸). چگنی‌های طبیعی شهر: هیدرولوژی و سیل خیزی شهر. چاپ اول، انتشارات مسعی تهران، ۲۰۰ صفحه.
- آزادطلب، مهناز، شهابی، هیمن، شیرزادی، عطالله، و چی، کامران (۱۳۹۹). پهنه‌بندی خطر سیلاب شهری در شهر سنندج با استفاده از مدل-های تکیی شاخص آماری و تابع شواهد قطبی. مطالعات شهری، ۳۶، ۳۶-۳۰. doi:10.34785/J011.2021.801
- رحمانی، محمد، عموری، مهدی، و ملا‌آقا‌جانزاده، ساره (۱۳۹۴). پهنه‌بندی خطر سیلاب شهری با استفاده از روش‌های همپوشانی ترکیب خطی وزنی (WLC) و ساری‌بوهای میانگین وزنی مرتبت شده (OWA) (مطالعه موردی: شهر ساری، مازندران، ایران. کنفرانس بین‌المللی پژوهش‌های نوین در علوم کشاورزی و محیط زیست. <https://civilica.com/doc/436043>
- رسولی، علی‌اکبر (۱۳۷۷). ضرورت ایجاد گرایش سیستم‌های اطلاعات جغرافیایی در گروه‌های جغرافیایی کشور. رشد آموزش جغرافیا، ۴۶، ۱-۶. [https://journals.tabrizu.ac.ir/article\\_1914\\_3b9582a735ab42d15e03984bd5487925.pdf](https://journals.tabrizu.ac.ir/article_1914_3b9582a735ab42d15e03984bd5487925.pdf)
- زراعتکار، زهرا (۱۳۹۱). پهنه‌بندی سیلاب رودخانه‌های شاهروド و پلاغ در شهر بیرون چند با استفاده از HEC-RAS و ARC-GIS پایان‌نامه کارشناسی ارشد، دانشگاه زابل.
- شعانی لنگرانی، مصطفی (۱۳۹۱). کاربرد تکنیک‌های سنجش از دور و سیستم اطلاعات جغرافیایی در کنترل سیلاب‌های شهری (مطالعه موردی: شمال شهر تبریز). دانشکده برق‌ریزی و علوم محیطی، پایان‌نامه کارشناسی ارشد، دانشگاه تبریز.
- شیرزادی، عطالله، سلیمانی، کریم، حبیب نژاد روش، بها، محمود کاویان، عطالله، و چی، کامران (۱۳۹۶). معرفی یک مدل جدید ترکیبی الگوریتم مبنا به‌منظور پیش‌بینی حساسیت زمین‌لغزش‌های سطحی اطراف شهر بیجار. جغرافیا و توسعه، ۴۶، ۲۲۵-۲۴۶. doi:10.22111/GDIJ.2017.3076

از مناطقی که سیلاب شهری در آن مناطق قابل مشاهده هستند، به درستی پیش‌بینی شده‌اند. هم‌چنین، نتایج صحبت‌سنجدی نقشه پیش‌بینی مکانی سیلاب شهری با روش تراکم سیلاب نشان داد که از سمت کالاس سیلاب با پتانسیل مکانی خیلی کم به‌سمت کالاس‌های زیاد و خیلی زیاد مقدار سیلاب مشاهده شده افزایش یافته است که نشان از تأیید و صحبت نقصه به‌دست آمده را دارد. بر اساس نتایج به‌دست آمده از مدل ترکیبی FADAHP، این مدل توانایی خوبی در شناسایی مناطق مستعد به‌وقوع سیلاب شهری را دارد و می‌تواند به عنوان یک ابزار برای شناسایی این مخاطره طبیعی در مناطق دیگر نیز آزمایش و ارزیابی شود. از آن جاکه دیدگاه ما در رابطه با وقوع سیلاب پیش‌تر حول محور پیش‌گیری از سیل است. بنابراین، با توجه به مبانی نظری ذکر شده و دیدگاه‌های موجود در زمینه آسیب‌پذیری سیل می‌توان گفت که قرارگیری این منطقه روی حوضه‌هایی که شیب به سمت منطقه دارند، عدم رعایت مسیل‌ها و شبکه عبوری آبراهه‌ها، ساخت و سازهای غیر مجاز، تراکم بالای ساخت و ساز مرکز در مرکز شهر، بافت قدیمی و فرسوده ساختمان‌ها و طراحی نامناسب و نامتناسب کانال‌های انتقال آب سطح شهر باعث تشدید این آسیب‌پذیری شده‌اند. در پایان، می‌توان گفت که دست‌یابی به یک نقشه پیش‌بینی مکانی دقیق و معقول می‌تواند به مدیران و برنامه‌ریزان شهری در شناسایی مناطق حساس به‌وقوع سیل چهت مدیریت بحران سیلاب شهری کمک شایانی نماید.

### سپاسگزاری

بدین‌وسیله از حمایت‌های معنوی دانشگاه پیام نور و دانشگاه کردستان در انجام این پژوهش قدردانی می‌شود.

### تضاد منافع نویسنده‌گان

نویسنده‌گان این مقاله اعلام می‌دارند که هیچ‌گونه تضاد منافعی در خصوص نگارش و انتشار مطالب و نتایج این پژوهش وجود ندارند.

### دسترسی به داده‌ها

داده‌ها و نتایج استفاده شده در این پژوهش از طریق مکانی به نویسنده مسئول در اختیار قرار خواهد گرفت.

### مشارکت نویسنده‌گان

بهنام شیرزادی: انجام تحلیل‌های نرم‌افزاری/آماری، نگارش نسخه اولیه مقاله، کنترل نتایج؛ فرزاد ویسی: راهنمایی، ویرایش و بازبینی مقاله، کنترل نتایج؛ محمد صدیق قربانی: ویرایش و

- اطلاعات جغرافیایی (GIS) (مطالعه موردی: شهر کمانشاه). پایان‌نامه کارشناسی ارشد، دانشگاه علوم کشاورزی و منابع طبیعی ساری. الله‌ویسی، مسلم، حسینی، بشیر، احمدی‌توان، بهمن، و جهیدی، نیما (۱۳۹۲). شناسایی عوامل شهری مؤثر در خطرپذیری سیلاب-های شهری (مطالعه موردی: شهر سنندج)، کنفرانس ملی مدیریت سیلاب، تهران، <https://civilica.com/doc/207377>
- محمدی، حسین، مقصودی، مهران، و روشن، غلامرضا (۱۳۸۵). جایگاه و نقش سیستم‌های پیش‌بینی و هشدار سیلاب در کاهش اثرات مخرب سیل. مطالعات برنامه‌ریزی سکونتگاه‌های انسانی (چشم انداز جغرافیایی سابق)، ۱(۳)، ۸۷-۱۰۰. <http://noo.rs/JSS5dK>.
- مسعود، وفایی، محمد تقی، دستورانی، رستمی خلچ، محمد (۱۴۰۱). ارزیابی خطر سیلاب در پردیس دانشگاه فردوسی مشهد و ارائه ستاریوهای مدیریتی مربوطه با استفاده از مدل HEC-RAS. مدل‌سازی و مدیریت آب و خاک، ۳(۳)، ۲۲۵-۲۳۹. doi: 10.22098/mmws.2022.11815.1173
- مقدم‌نیا، ع، و فاخوار، م (۱۳۹۸). کنترل سیلاب. انتشارات دانشگاه تربیت مدرس، چاپ دوم، ۴۱۱ صفحه.
- صادقی، سید‌حیدرخسا، جلالی‌راد، رامین، و علی محمدی سراب، عباس علی (۱۳۸۲). پنهانه‌بندی سیلاب با استفاده از نرم‌افزار HEC-RAS و سامانه اطلاعات جغرافیایی (مطالعه موردی: حوضه آبریز شهری دارآباد تهران). علوم کشاورزی و منابع طبیعی خزر، ۲(۱)، ۳۴-۴۷. <https://magiran.com/p163705>
- صیاد، دانیال، قضاوی، رضا، و امیدوار، ابراهیم (۱۴۰۱). راهبردهای مناسب مدیریتی زیرساخت‌های شهری در برابر سیلاب از منظر پدافند غیرعامل با استفاده از SWOT و QSPM (مطالعه موردی: شهر کاشان)، مدل‌سازی و مدیریت آب و خاک، ۲(۱)، doi:10.22098/MMWS.2022.9651.1055.۵۴-۴۲
- قهروندی تالی، منیژه (۱۳۸۶). پیش‌بینی زیرساختار داده‌های مکانی در حوضه‌های رودها در ایران. سومین همایش سیستم‌های اطلاعات مکانی، <https://sid.ir/paper/811136/fa>
- کاظمی، محمد، و جعفرپور، عاطفه (۱۴۰۱). شناسایی آستانه متغیرهای تأثیرگذار بر پنهانه‌های سیلاب با استفاده از تکنیک یادگیری ماشین (مطالعه موردی: حوزه انتهایی کارون بزرگ)، مدل‌سازی و مدیریت آب و خاک، ۴(۱)، ۲۱۴-۲۳۲. doi: 10.22098/mmws.2023.12285.1220
- گراوندی، یوسف (۱۳۹۱). پنهانه‌بندی خطر سیلاب شهری با استفاده از آنالیز تصمیم‌گیری چندمعیاره مطالعه (MCDA) و سیستم Tehran, Iran. <https://civilica.com/doc/207377>. [In Persian]
- Anni, A.H., Cohen, S., & Praskiewicz, S. (2020). Sensitivity of urban flood simulations to storm water infrastructure and soil infiltration. *Journal of Hydrology*, 588, 125028. doi:10.1016/j.jhydrol.2020.125028
- Asghari Moghadam, M. (1998). Natural geography of the City: hydrology and flooding of the City, 1<sup>st</sup> Edition, Masai Publishing House Tehran, 200 pages. [In Persian]
- Azadtalab, M., Shahabi, H., Shirzadi, A., & Chapi, K. (2020). Flood hazard mapping in Sanandaj using combined models of statistical index and evidential belief function. Motaleate Shahri, 9(36), 27-40. doi:10.34785/J011.2021.801. [In Persian]
- Büchele, B., Kreibich, H., Kron, A., Thielen, A., & Ihringer, J. (2006). Flood-risk mapping, contributions towards an enhanced assessment of extreme events and associated risks. *Natural Hazards and Earth System Sciences*, 6, 485-503. doi:10.5194/nhess-6-485-2006
- Bui, D.T., Pradhan, B., Revhaug, I., Nguyen, D.B., Pham, H.V., Bui, Q.N. (2015). A novel hybrid evidential belief function-based fuzzy logic model in spatial prediction of rainfall-induced

## References

- Ahmadi Iikhchi, A., Hajabbassi, M.A., & Jalalian, A. (2003). Effects of converting range to dry-farming land on runoff and soil loss and quality in Dorahan, Chaharmahal & Bakhtiari Province. *Journal of Crop Production and Processing*, 6(4), 103-115. doi:20.1001.1.23833254.1394.2.2.1.0 [In Persian]
- Ahmadi, S., Amjadi, H., Chapi, K., Soodmand Afshar, R., & Ebrahimi, B. (2023). Fuzzy flash flood risk and vulnerability assessment for the City of Sanandaj, Kurdistan Province, Iran. *Natural Hazards*, 115(1), 237-259. doi:10.1007/s11069-022-05552-z
- Ahmadzade, H., Saiid Abadi, R., & Noori, A. (2015). A Study and zoning of the areas prone to flooding with an emphasis on Urban Floods (Case Study: City of Maku). *Hydrogeomorphology*, 2(2), 1-24. doi:20.1001.1.23833254.1394.2.2.1.0 [In Persian]
- Allahveisi, M., Hosseini, B., Ahmadi Tawana, B., & Jahdi, N. (2012). Identification of urban factors affecting the vulnerability of urban floods (case study: Sanandaj City). National Conference on Flood Management, Permanent Secretariat of National Conference on Flood Management,

- shallow landslides in the Lang Son City area (Vietnam). *Geomatics, Natural Hazards Risk*, 6(3), 243e271. doi:10.1080/19475705.2013.843206
- Chapi, K., Singh, V. P., Shirzadi, A., Shahabi, H., Tien Bui, D., Pham, B.T., & Khosravi, K.H. (2017). A novel hybrid artificial intelligence approach for flood susceptibility assessment. *Environmental Modelling & Software*, 95, 229-245. doi:10.1016/j.envsoft.2017.06.012
- Dharmarathne, G., Waduge, A.O., Bogahawaththa, M., Rathnayake, U., & Meddage, D.P.P. (2024). Adapting cities to the surge: A comprehensive review of climate-induced urban flooding. *Results in Engineering*, p.102123. doi:10.1016/j.rineng.2024.102123
- Fernández, D.S., & Lutz, M.A. (2010). Urban flood hazard zoning in Tucumán Province, Argentina, using GIS and multicriteria decision analysis. *Engineering Geology*, 111, 90–98. doi:10.1016/j.enggeo.2009.12.006
- Ghahrodi Tali, M. (2007). Forecasting the substructure of spatial data in river basins in Iran, the third conference on spatial information systems, <https://sid.ir/paper/811136/fa> [In Persian]
- Gravandi, Y. (2011). Urban flood risk mapping using multi-criteria decision analysis (MCDA) and geographic information system (GIS) (Case study: Kermanshah City). Master's Thesis, Sari University of Natural Resources, Iran. [In Persian]
- Kazemi, M., & Jafarpour, A. (2022). Identifying the threshold of variables affecting flood zones using machine learning technique (Case study: Karun Bozor End Basin). *Soil And Water Modeling And Management*, 4(1), 214-232. doi:10.22098/mmws.2023.12285.1220. [In Persian]
- Malczewski, J. (2004). GIS-based land-use suitability analysis: a critical overview. *Progress Planning*, 62(1), 3–65. doi:10.1016/j.progress.2003.09.002
- Moghadamnia, A., and Wafakhah, M. (2018). Flood control. Publications of Tarbiat Modares University, 2<sup>ed</sup> Edition:, 411 pages.
- Mohammadi, H., Maghsoudi, M., & Roshan, G.H. (2006). The position and role of flood forecasting and warning systems in reducing the destructive effects of floods. *Geographical Perspective*, 1(3), 87-101. <http://noo.rs/JS5dK> [In Persian]
- Moon, H.T., Kim, J.S., Chen, J., Yoon, S.K., & Moon, Y.I. (2024). Mitigating urban flood Hazards: Hybrid strategy of structural measures. *International Journal of Disaster Risk Reduction*, 108, 104542. doi:10.1016/j.ijdrr.2024.104542
- Rahmani, M., Tarari, M., & Molla Aghajanzadeh, S. (2014). Urban flood risk mapping using weighted linear combination (WLC) and ordered weighted average (OWA) scenarios (Case study: Sari City, Mazandaran, Iran), International Conference on Modern Research in Sciences Agriculture and Environment, Karin Conference Excellence Institute. <https://sid.ir/paper/862056/fa> [In Persian]
- Rasouli, A. (1998). The necessity of creating the geographic information systems in the geographical groups of the country. *Geography Education Development*, 29, 1-8. [In Persian]
- Sadeghi, S.H.R., Jalalirad, R., & Mohammadi Sarabi, A. (2003). Flood mapping using HEC-RAS software and geographic information system (Case study; Darabad urban catchment of Tehran). *Caspian Agricultural Sciences and Natural Resources Research Journal*, 1(2), 34-47. [In Persian]
- Sayyad, D., Ghazavi, R., & Omidvar, E. (2022). Appropriate urban infrastructure management strategies against floods from the perspective of passive defense using SWOT and QSPM (Case study: Kashan City). *Water and Soil Management and Modelling*, 2(1), 42-52. doi: 10.22098/mmws.2022.9651.1055. [In Persian]
- Shabani Langrani, M. (2011). Application of remote sensing techniques and geographic information system in urban flood control (Case study: North of Tabriz City), Master's thesis, University of Tabriz, Tabriz, Iran. [In Persian]
- Shirzadi, A., Chapi, K., Shahabi, H., Solaimani, K., Kavian, A., & Ahmad, B.B. (2017). Rock fall susceptibility assessment along a mountainous road: an evaluation of bivariate statistic, analytical hierarchy process and frequency ratio. *Environmental Earth Sciences*, 76(4), 152. doi:10.1007/s12665-017-6471-6
- Sowmya, K., & John, C.M. (2015). Urban flood vulnerability zoning of Cochin City, Southwest coast of India, using remote sensing and GIS. *Natural Hazards*, 75(2). doi:10.1007/s11069-014-1372-4
- Tsangaratos, P., & Benardos A. (2014). Estimating landslide susceptibility through an artificial neural network classifier. *Natural Hazards*, 74(3), 1489-1516. doi:10.1007/s11069-014-1245-x
- Umar, Z., Pradhan, B., Ahmad, A., NeamahJebur, M., & Shafapour Tehrany, M. (2014). Earthquake

- induced landslide susceptibility mapping using an integrated ensemble frequency ratio and logistic regression models in West Sumatera Province, Indonesia. *Catena*, 118, 124-135. doi:10.1016/j.catena.2014.02.005
- United Nations Development Programme (UNDP), (2004). A global report reducing disaster risks a challenge for development. 267, 2541-2553.
- Vafaei, M., Dastorani, M., & Rostami Khalaj, M. (2022). Flood risk assessment in Ferdowsi University of Mashhad campus and presentation of related management scenarios using HEC-RAS model. *Water and Soil Modeling and Management*, 3(3), 225-239. doi:10.22098/mmws.2022.11815.1173. [In Persian]
- Wang, Y., Hong, H., Chen, W., Li, S., Pamučar, D., Gigović, L., Drobnjak, S., Tien Bui, D., & Duan, H. (2018). A hybrid GIS multi-criteria decision-making method for flood susceptibility mapping at Shangyou, China. *Remote Sensing*, 11(1), 62. doi:10.3390/rs11010062
- Ye, M.Q., Wu, J.D., Wang, C.L., & He, X. (2019). Historical and future changes in asset Society. *Weather, Climate, and Society*, 11(2), 307–319.
- Zeraatkar, Z. (2011). Flood mapping of Shahroud and Pelbagh rivers in Birjand using HEC-RAS and ARC-GIS. M.Sc. Thesis, University of Zabol, Iran. [In Persian]